

**Fig. 1**  
*Prior art*

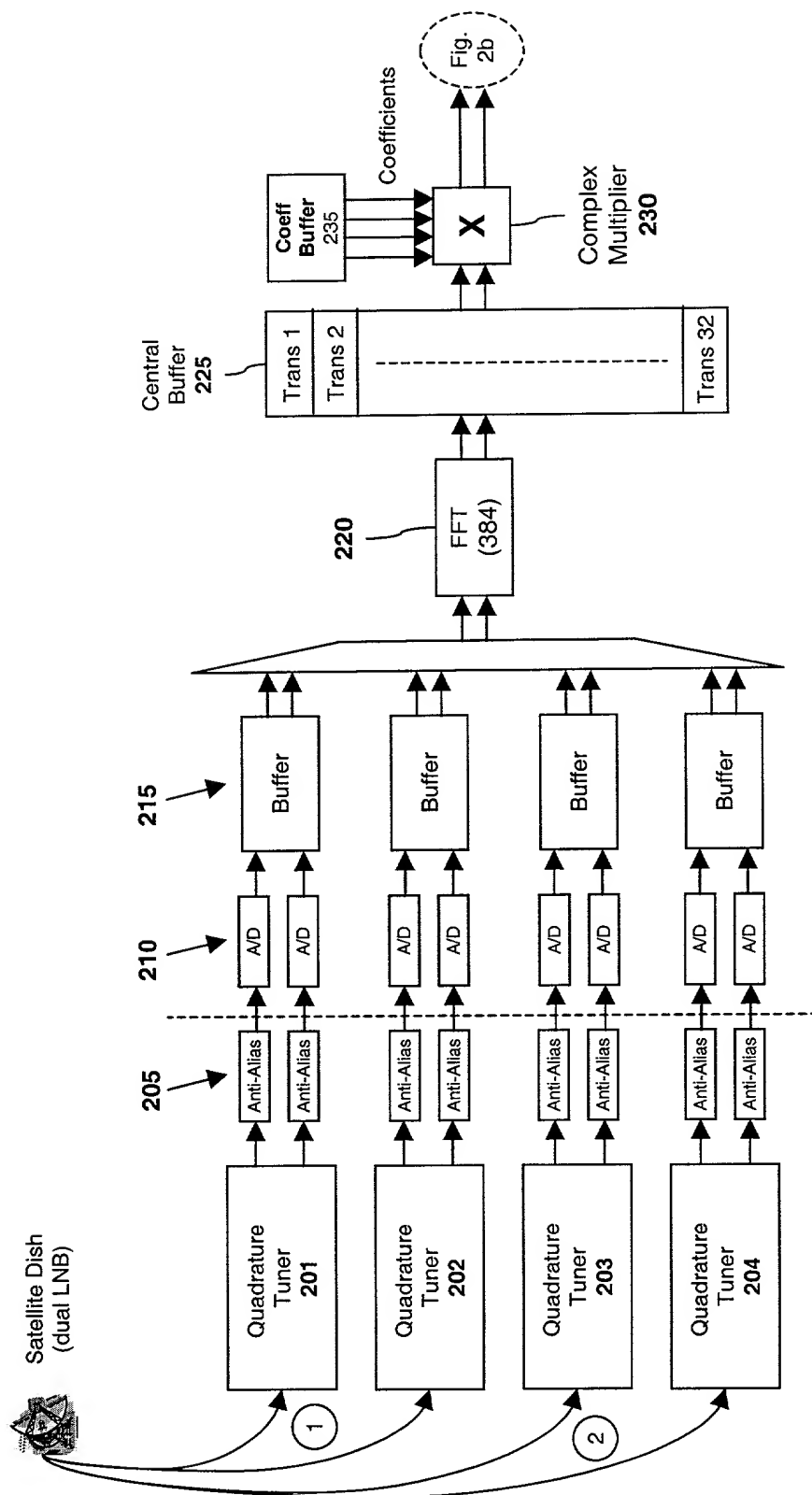


Fig. 2a

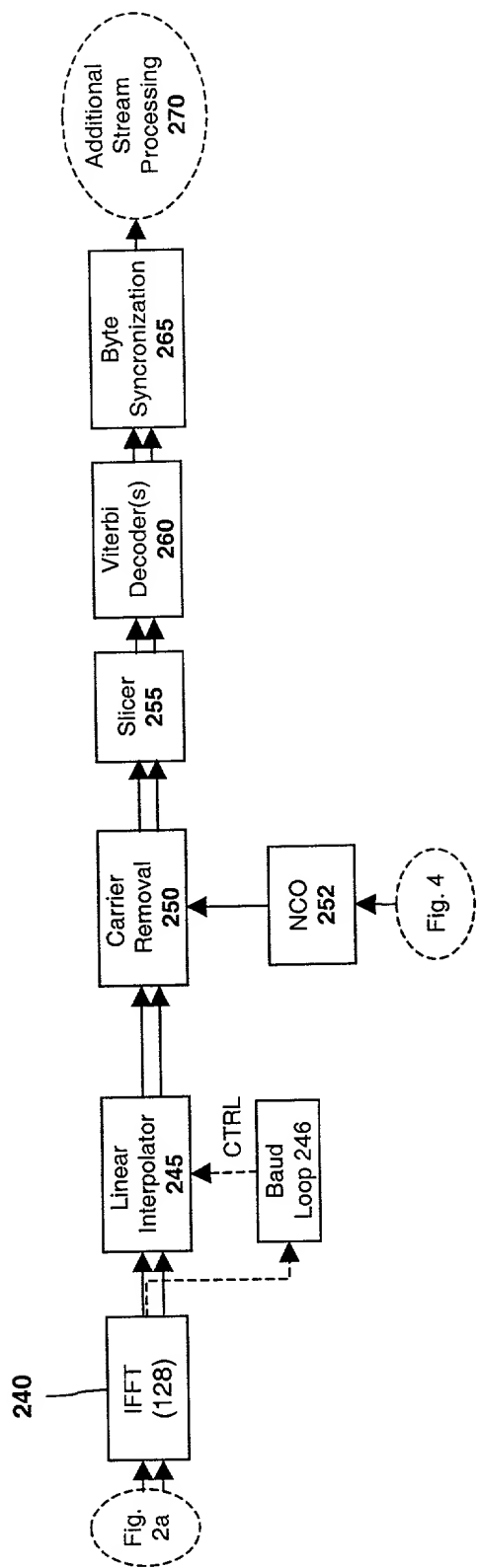


Fig. 2b

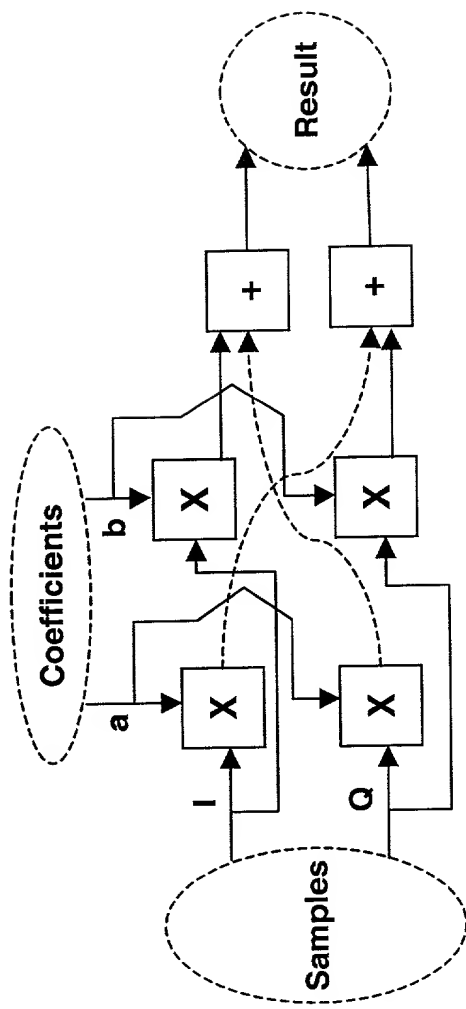


Fig. 3a

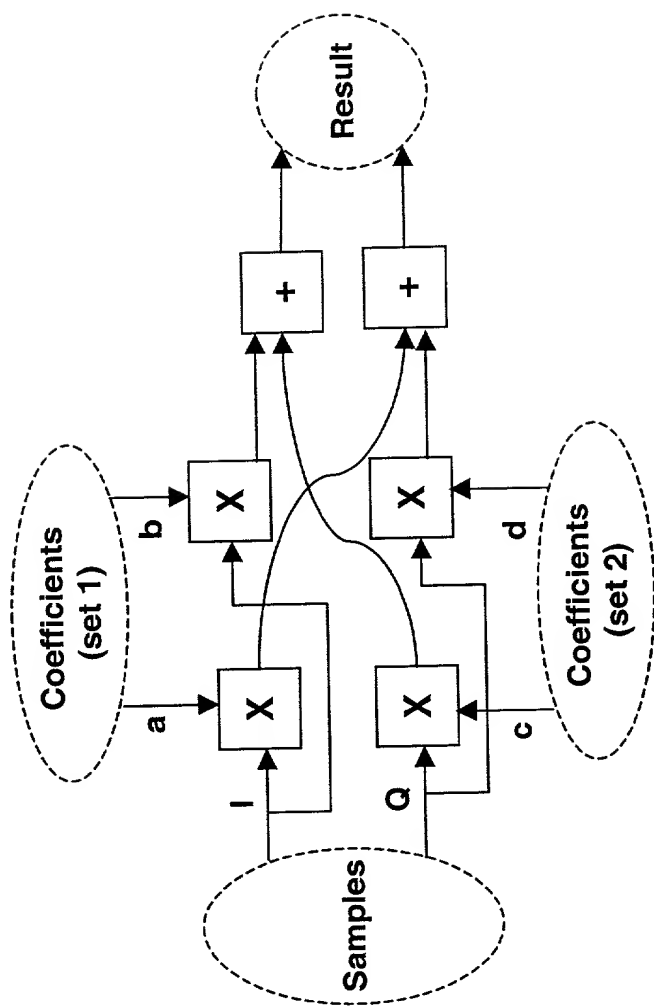


Fig. 3b

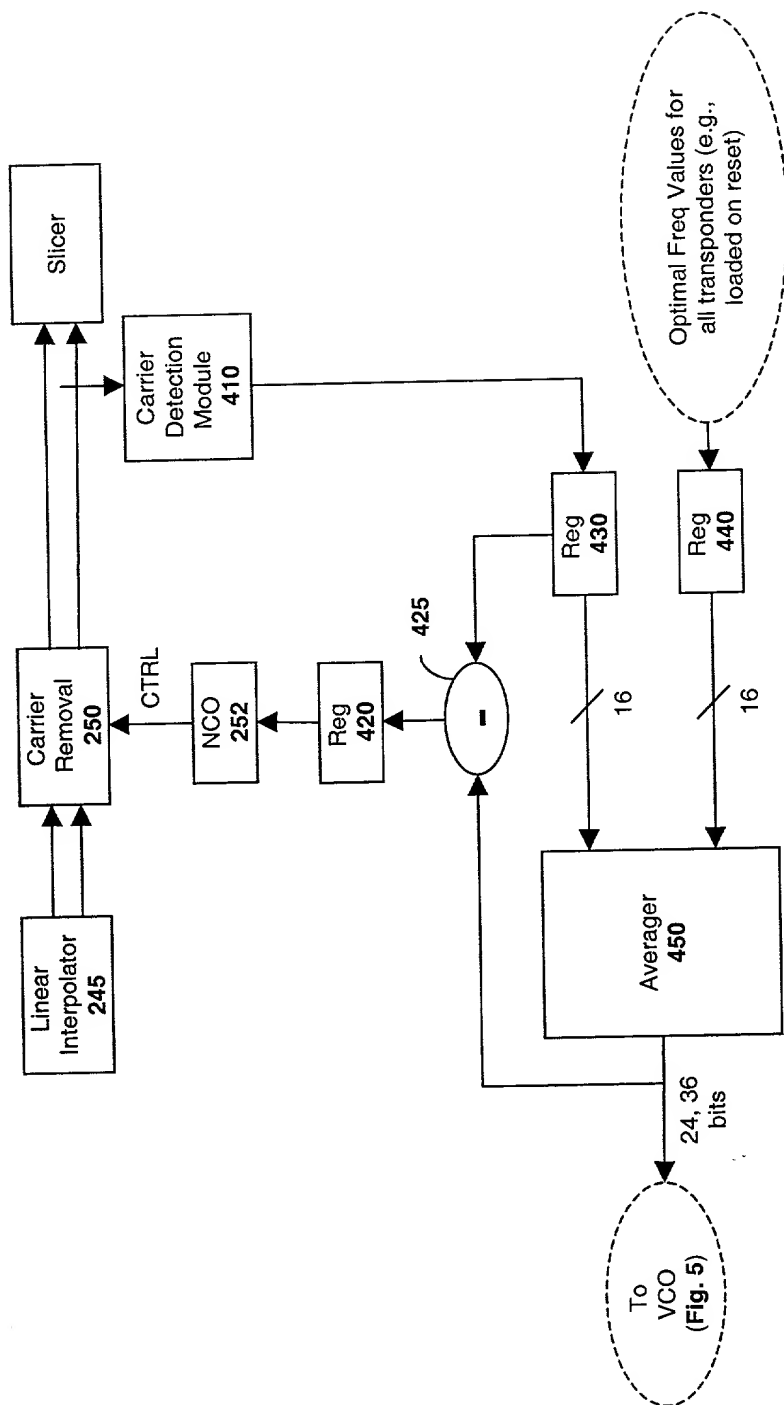
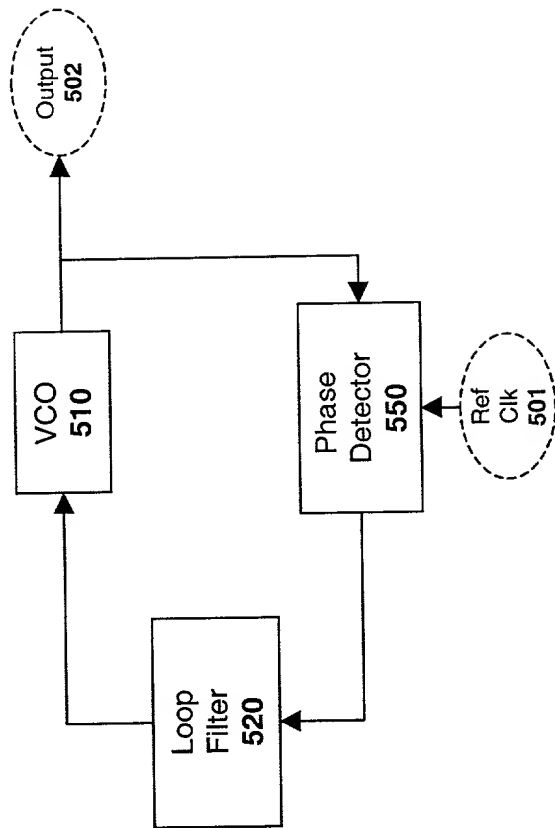
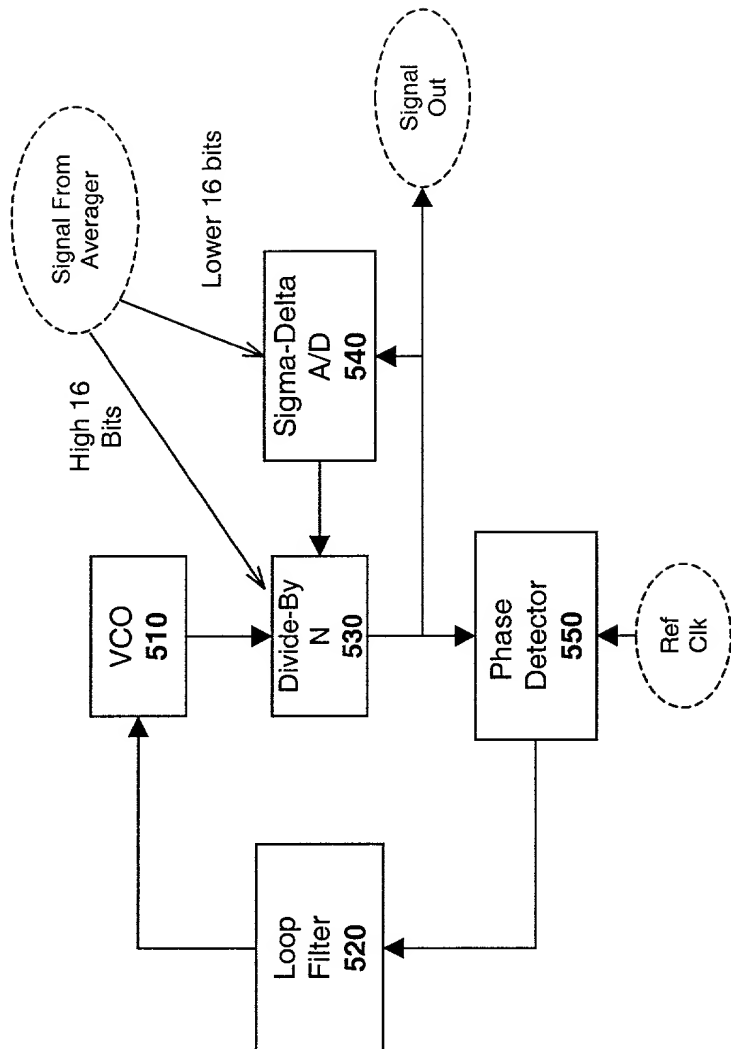


Fig. 4

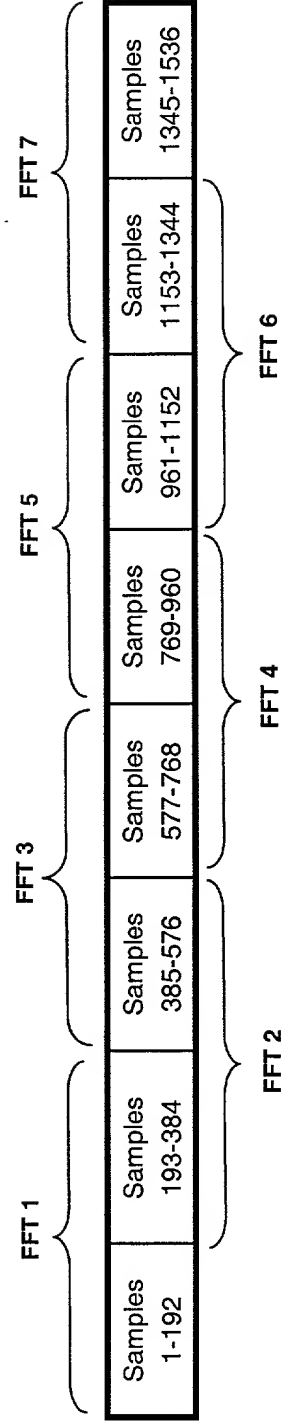


**Fig. 5a**



**Fig. 5b**





**Fig. 6**  
FFT Input Data

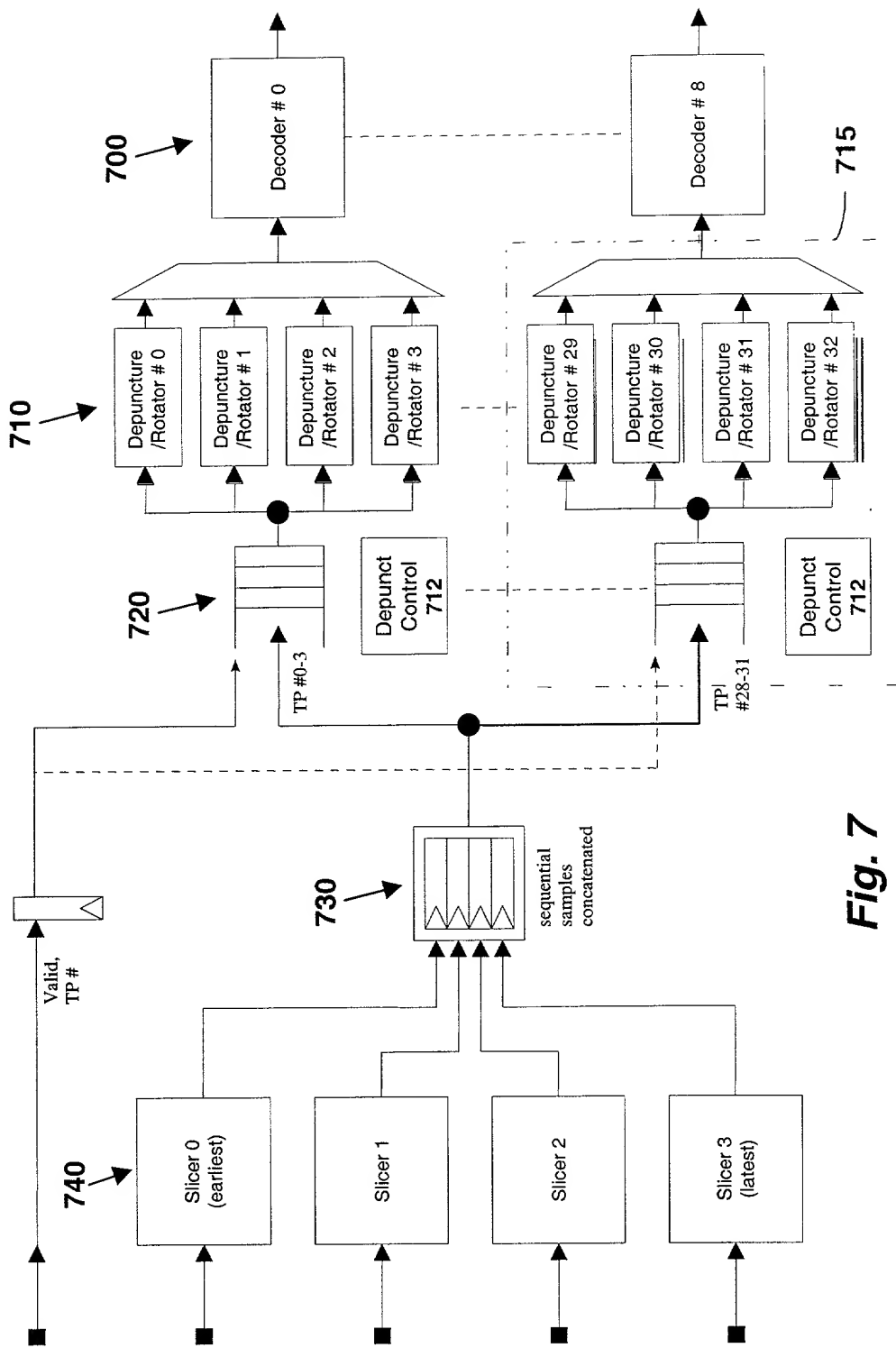


Fig. 7

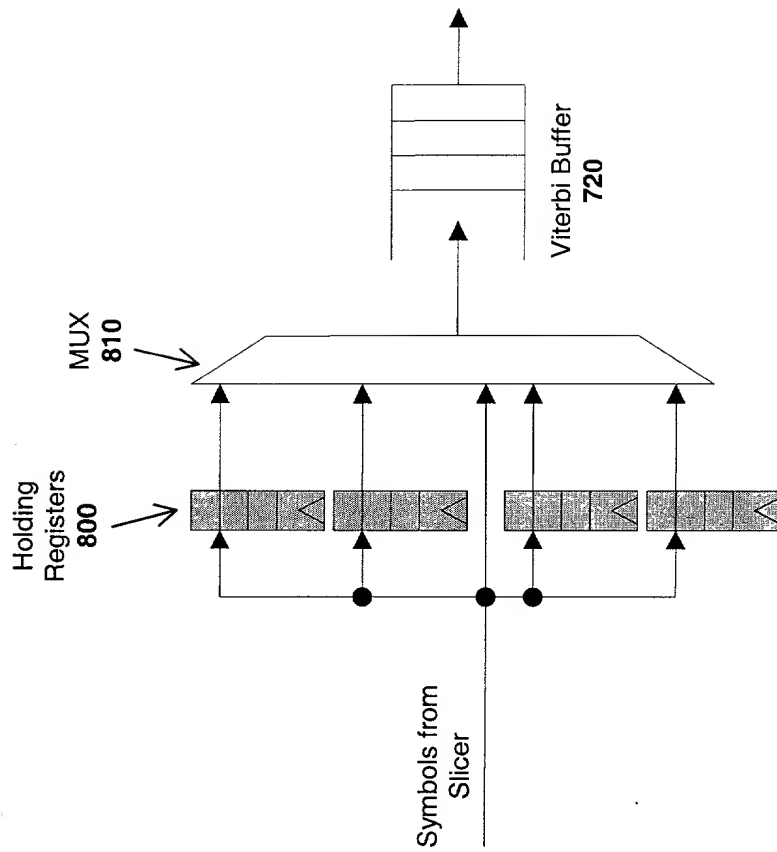


Fig. 8

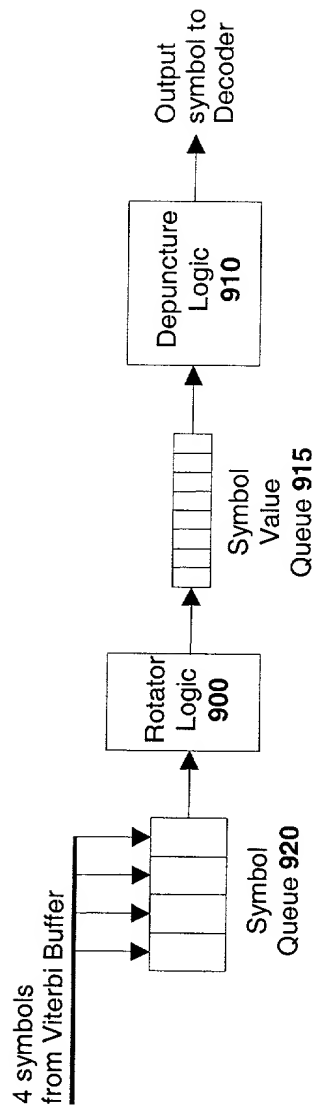


Fig. 9

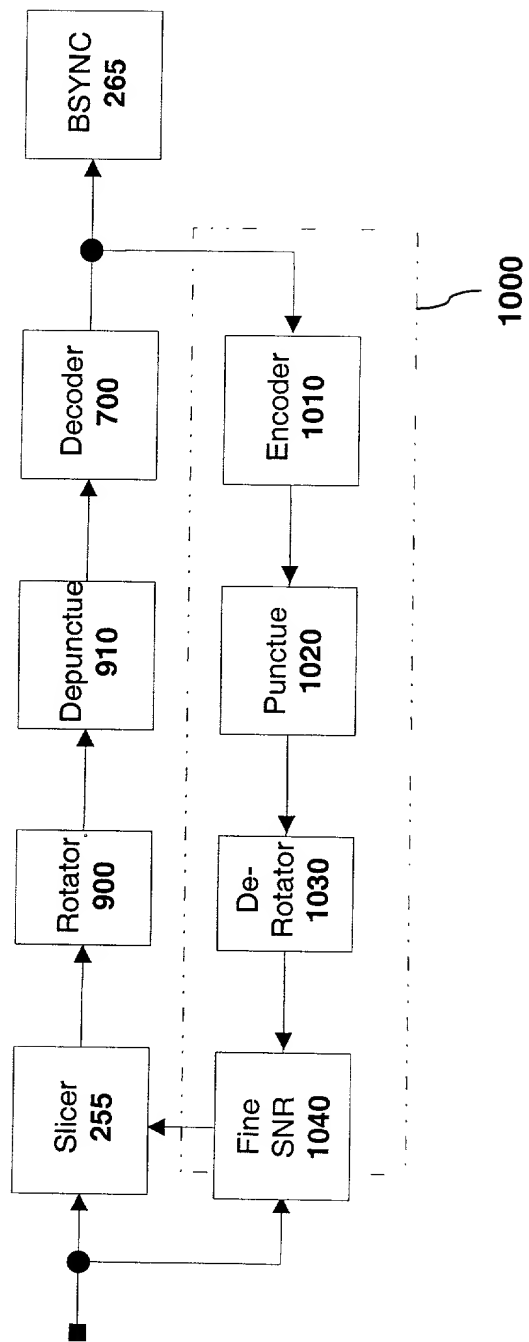
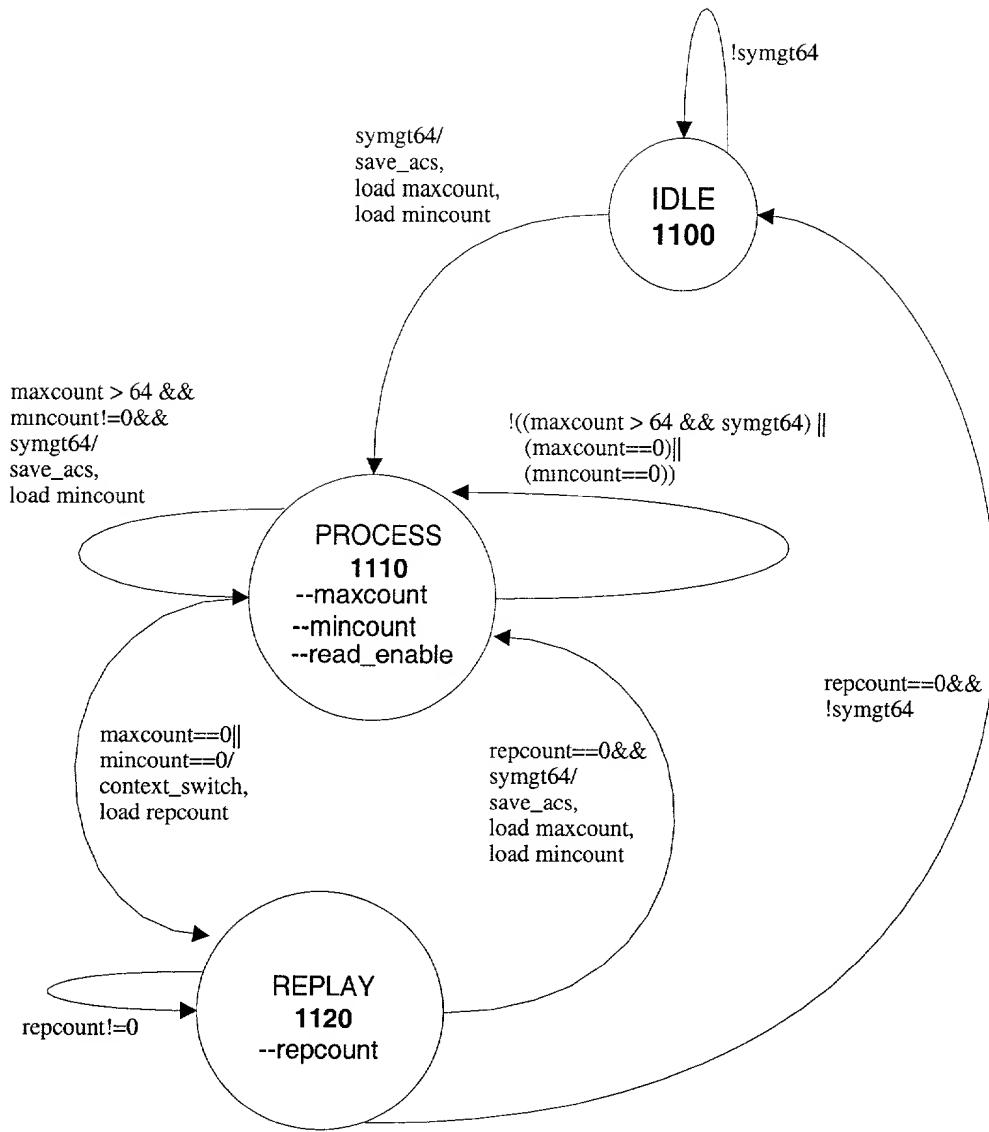


Fig. 10



**Fig. 11**

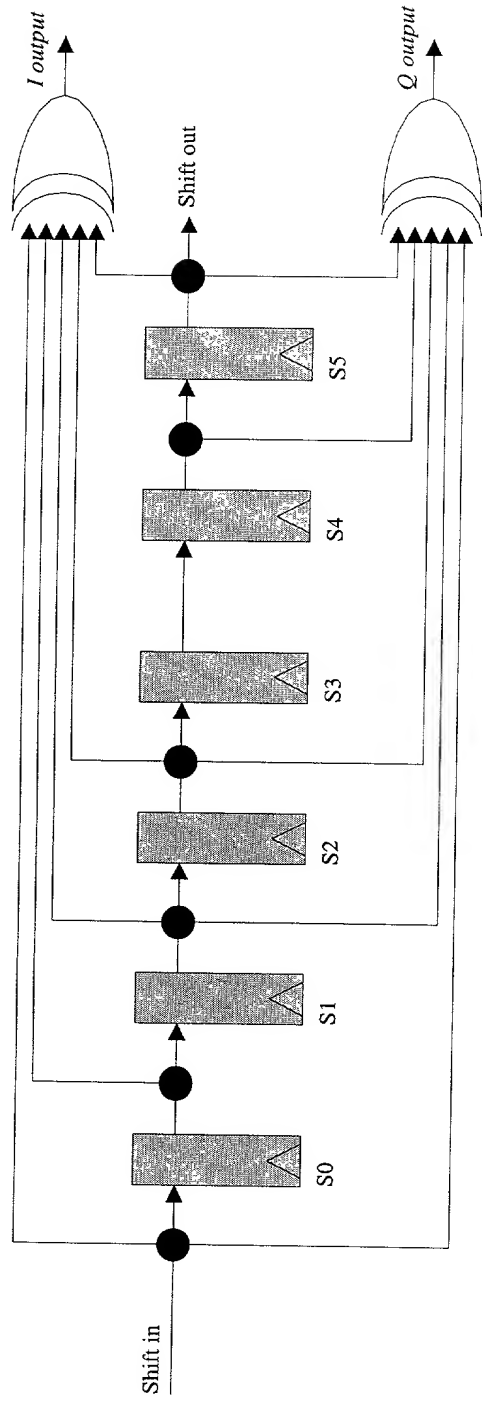


Fig. 12

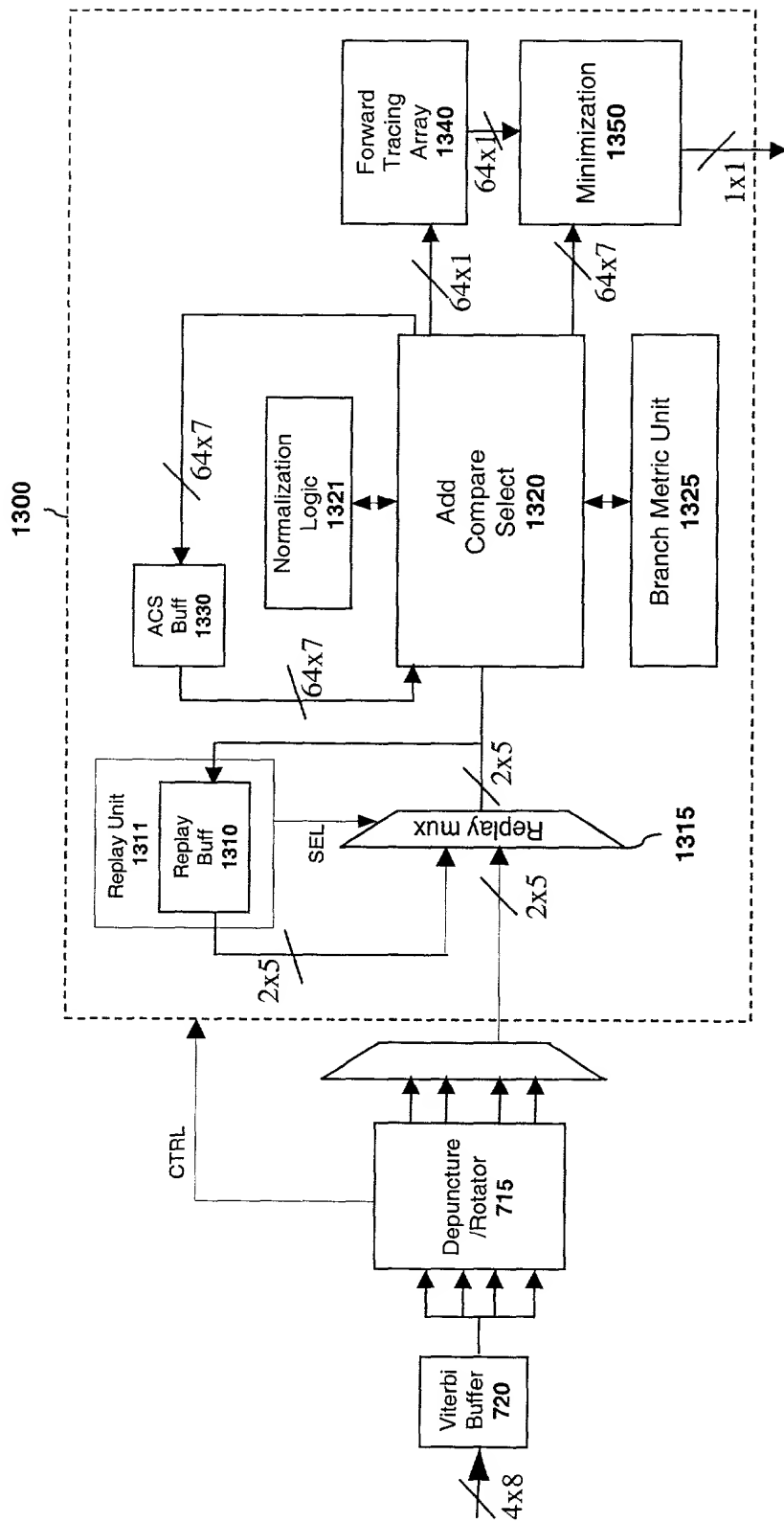


Fig. 13a



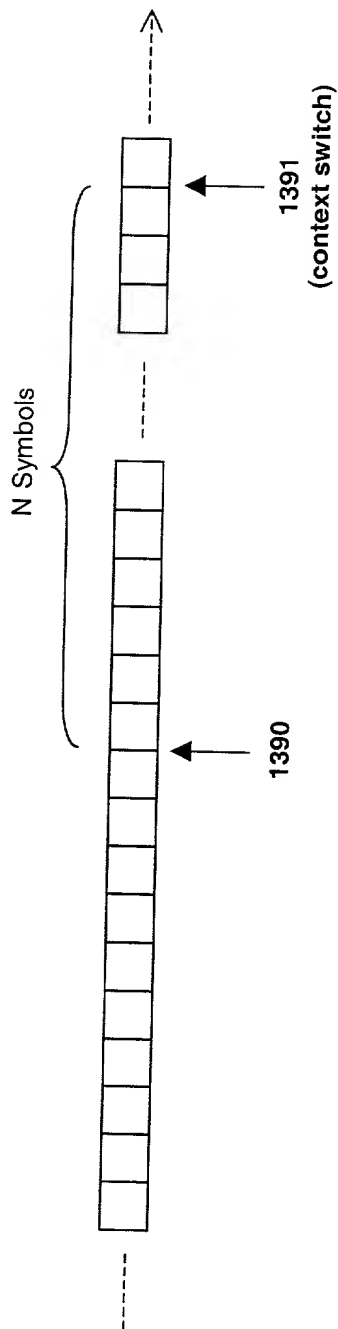


Fig. 13b

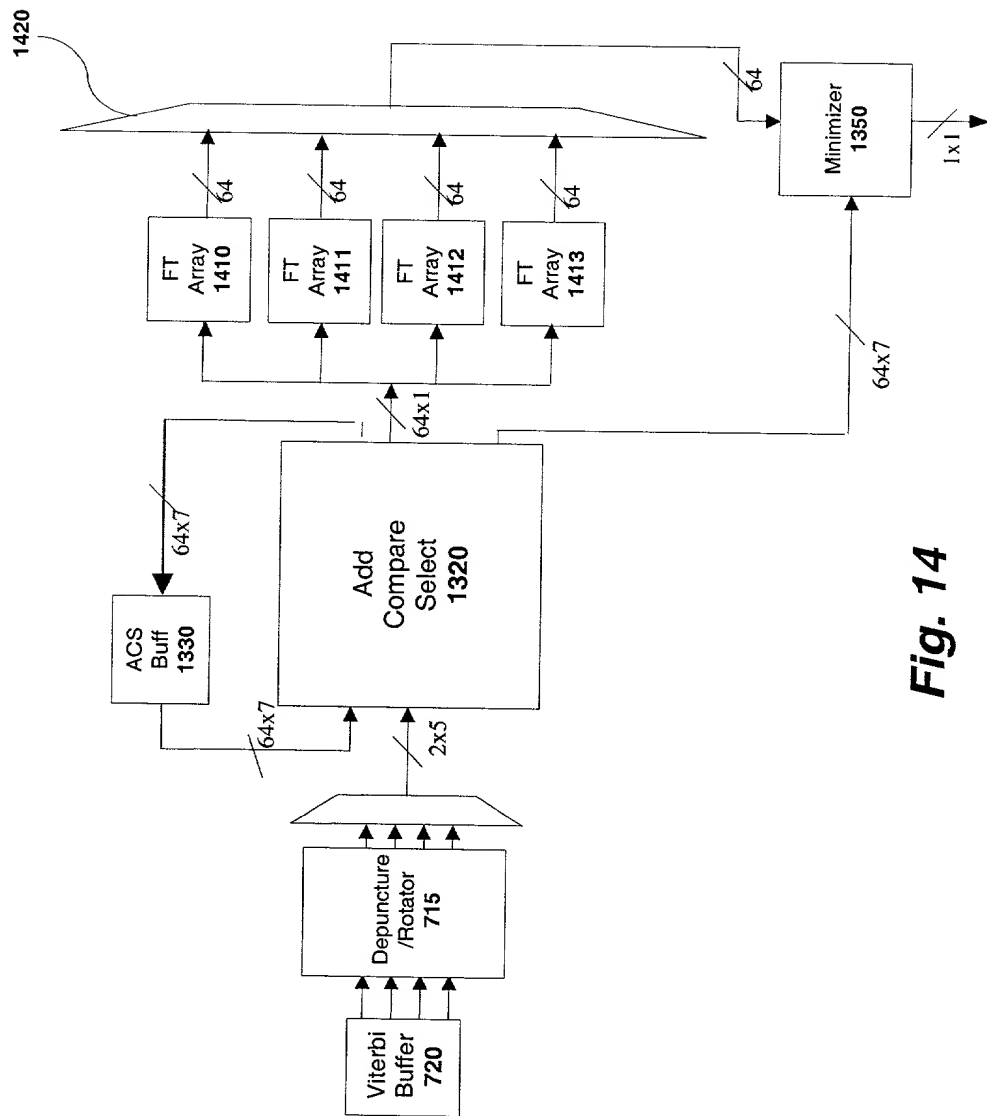


Fig. 14

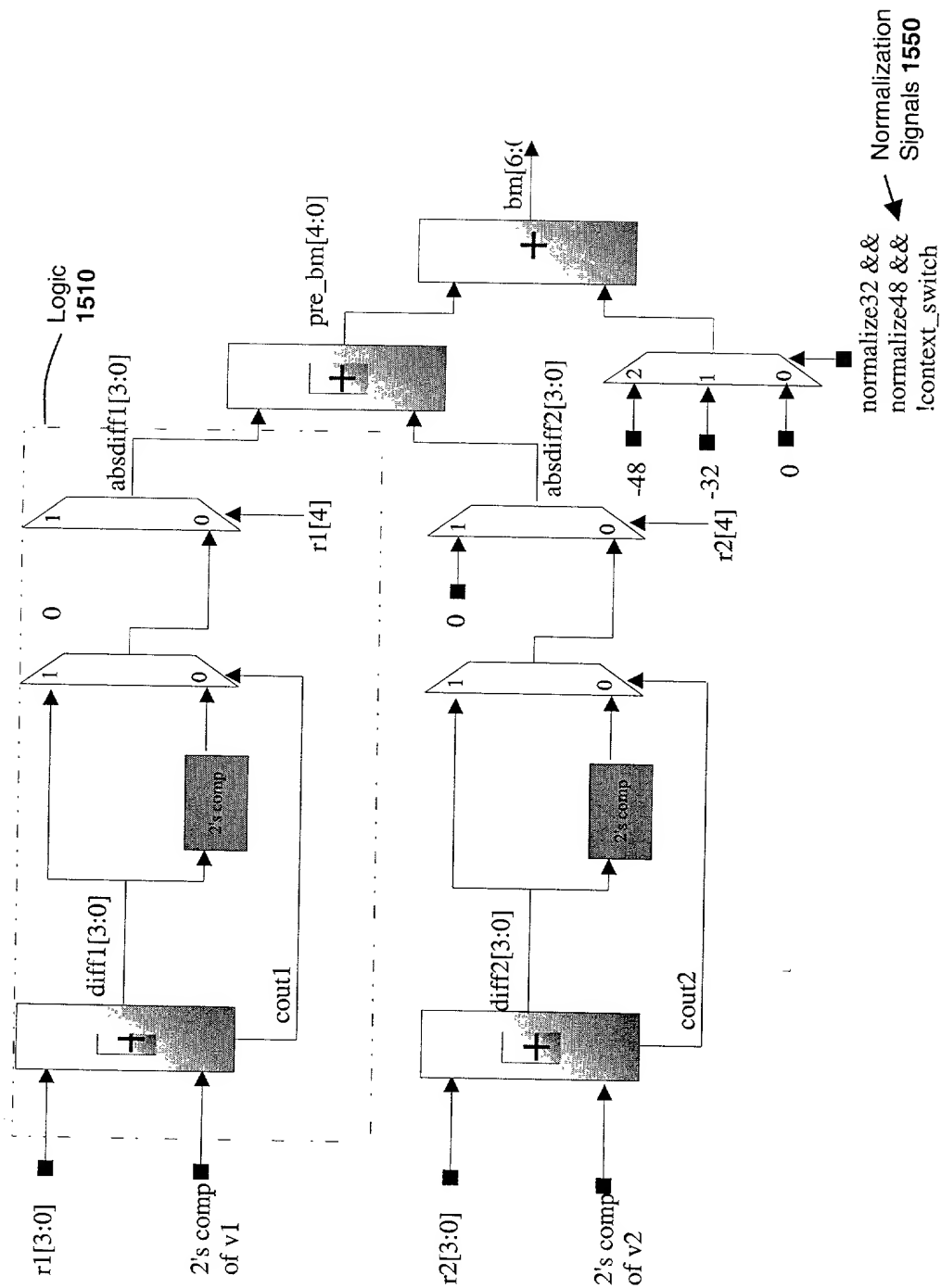


Fig. 15

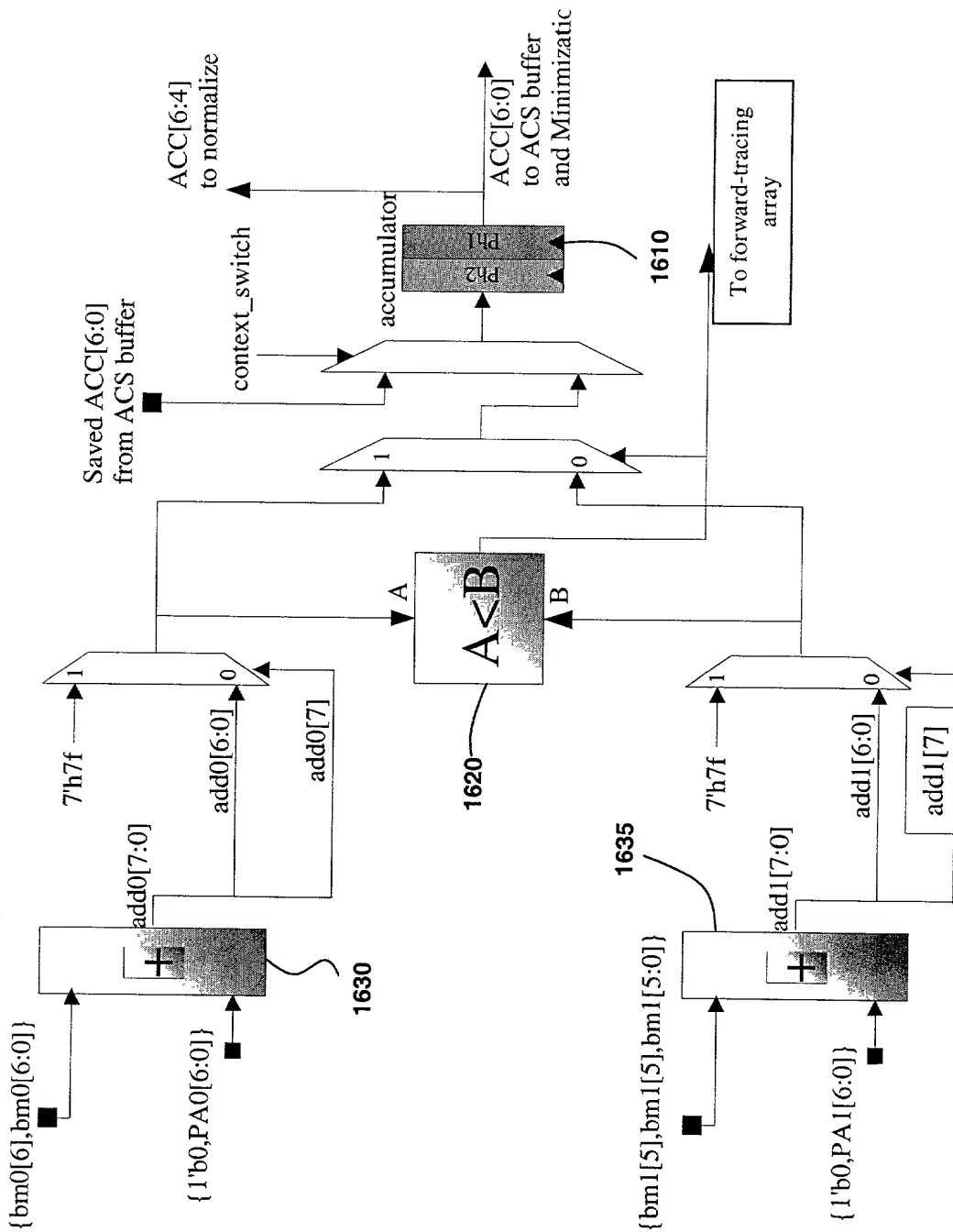


Fig. 16

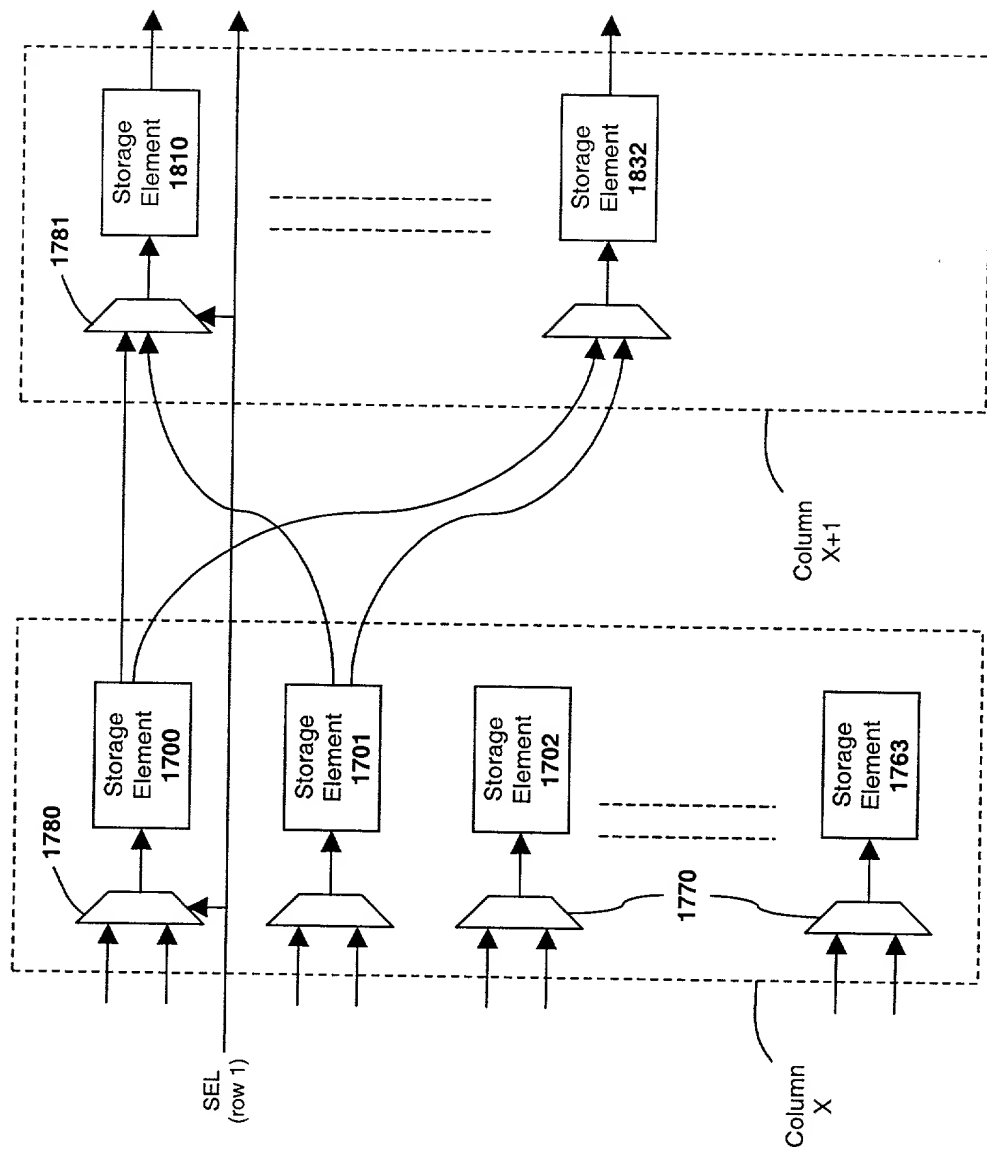


Fig. 17

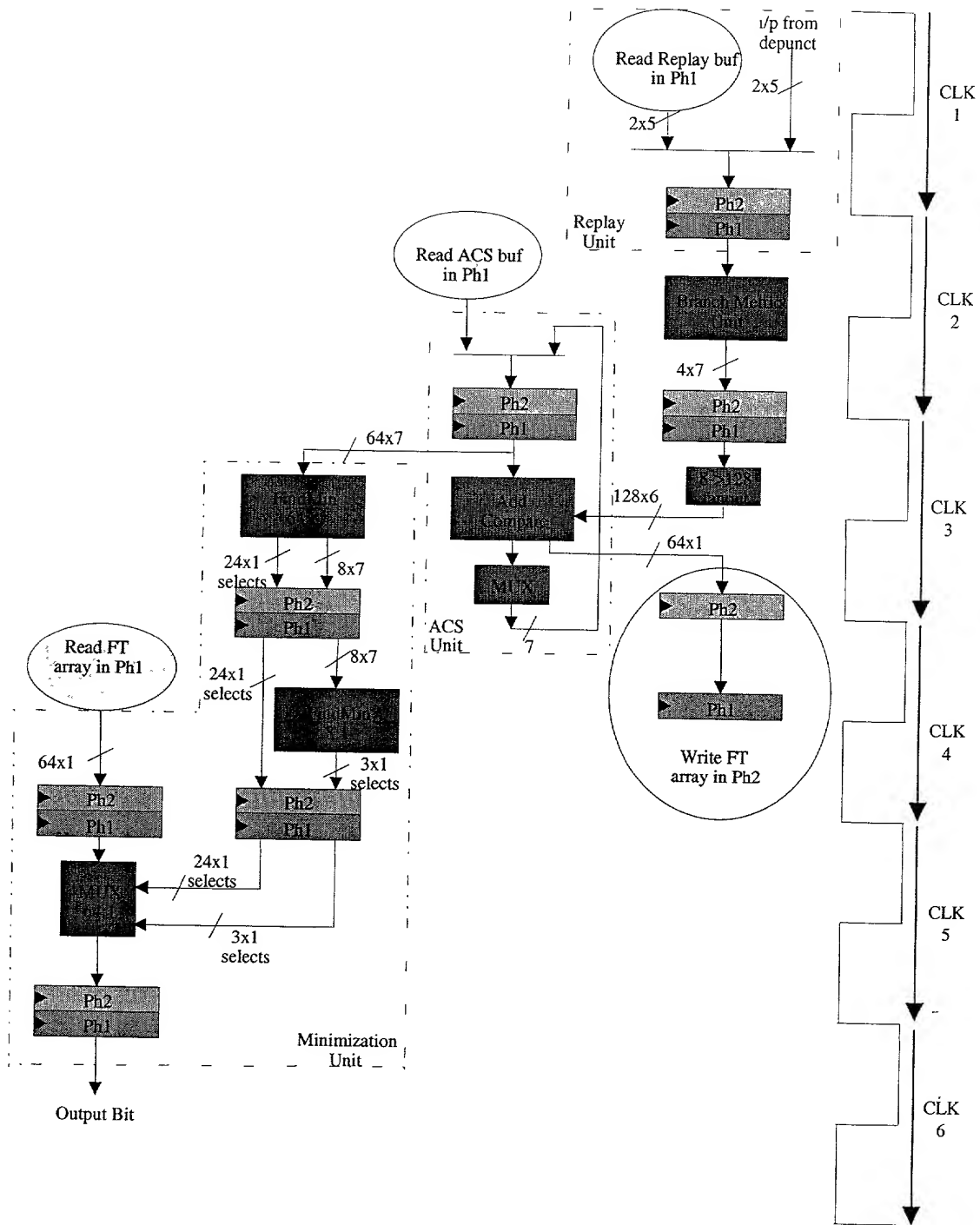


Fig. 18

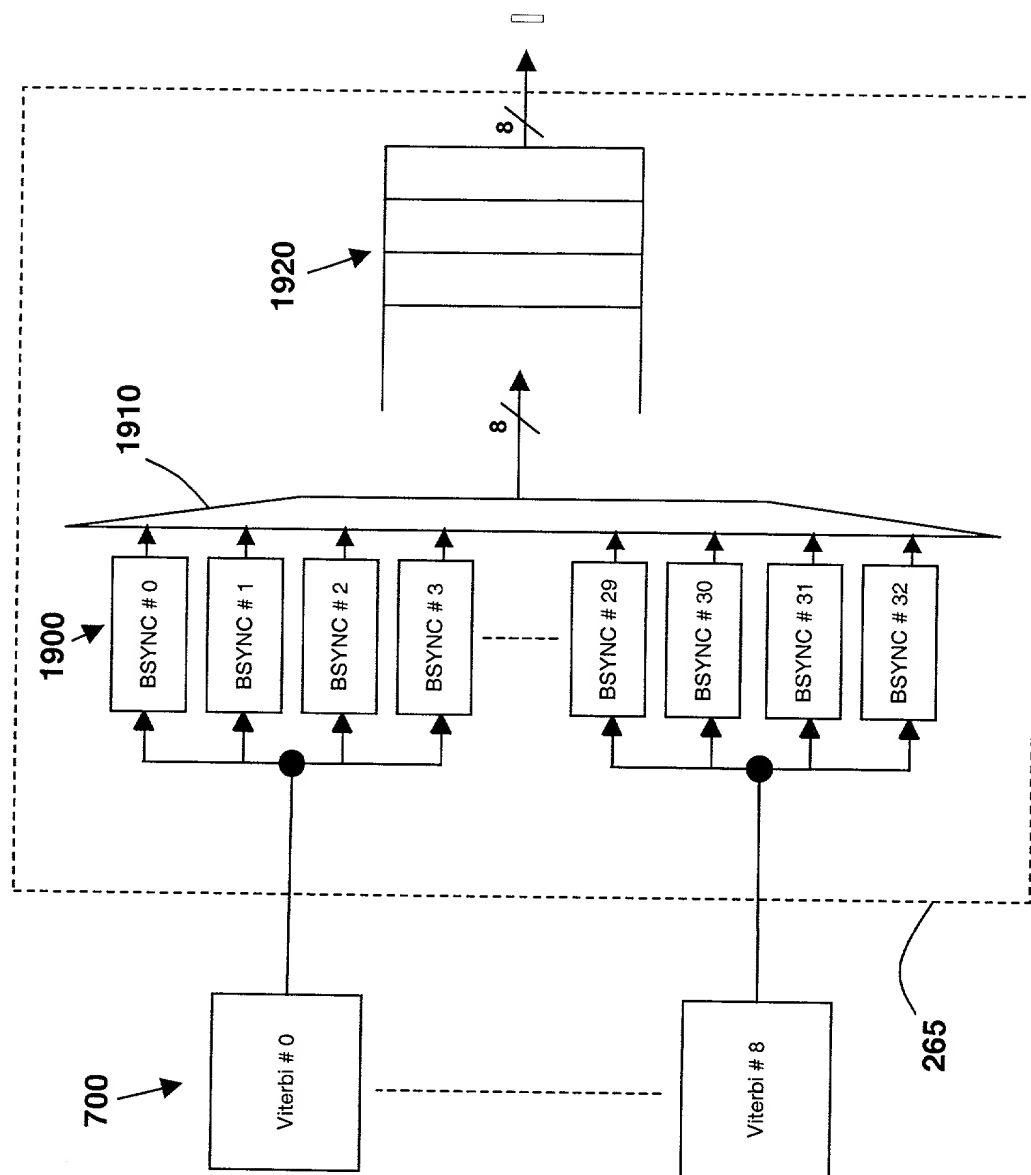


Fig. 19

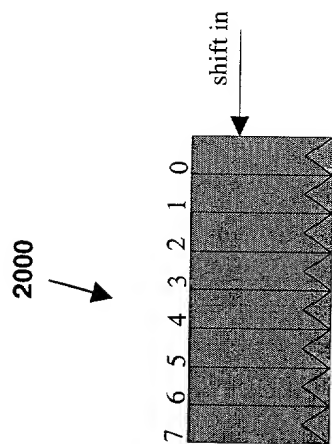
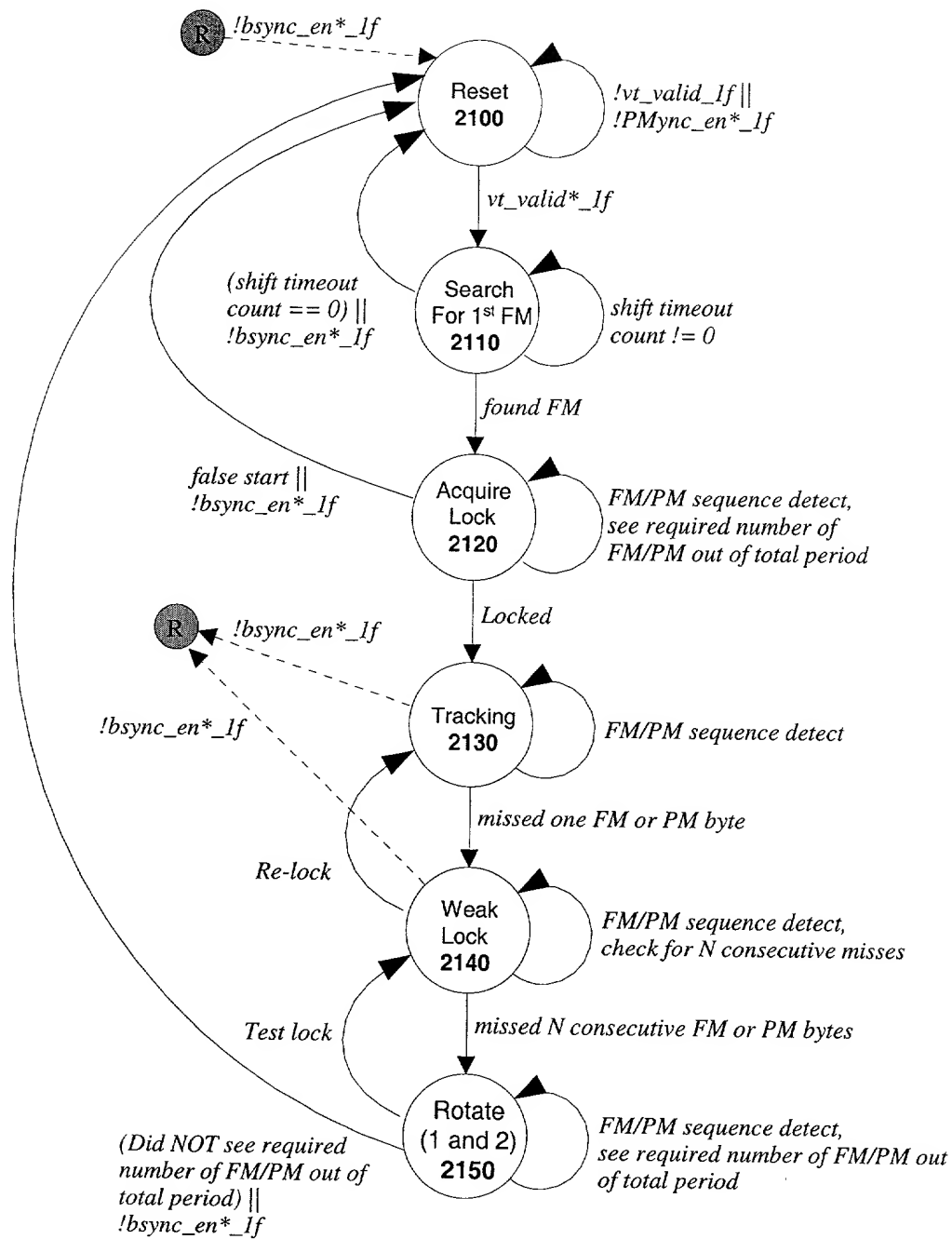


Fig. 20





**Fig. 21**

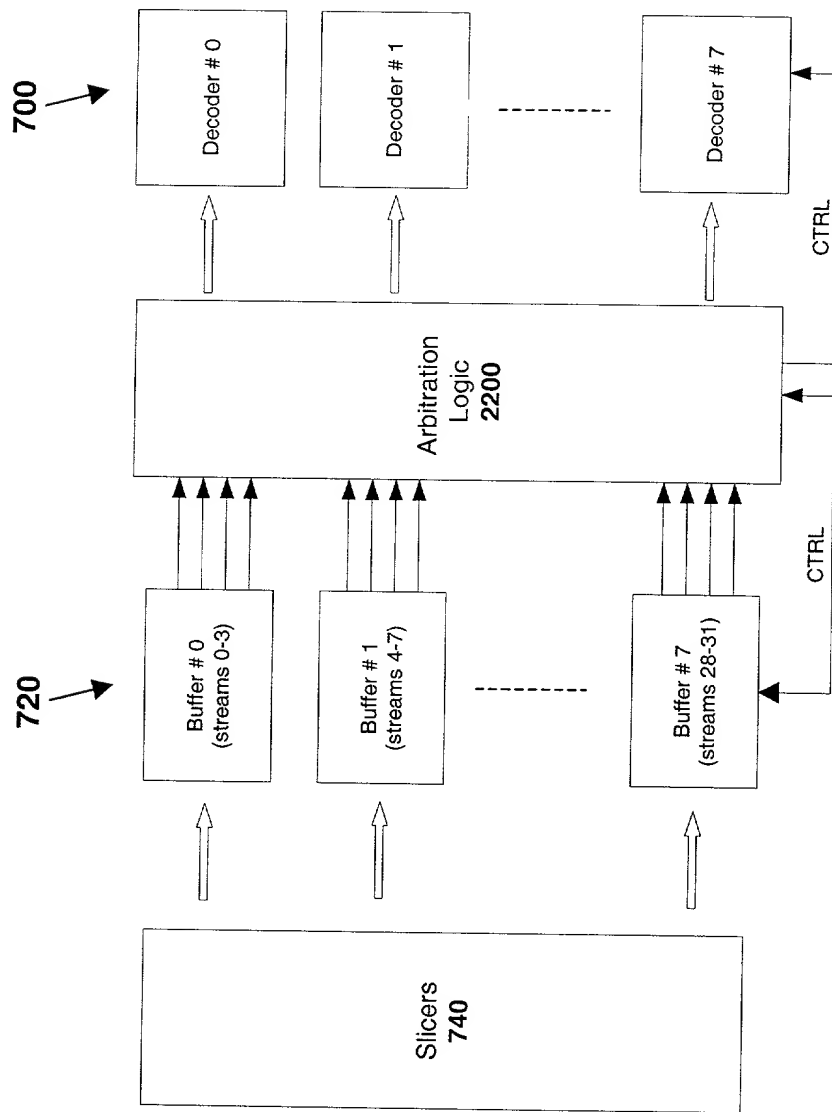


Fig. 22

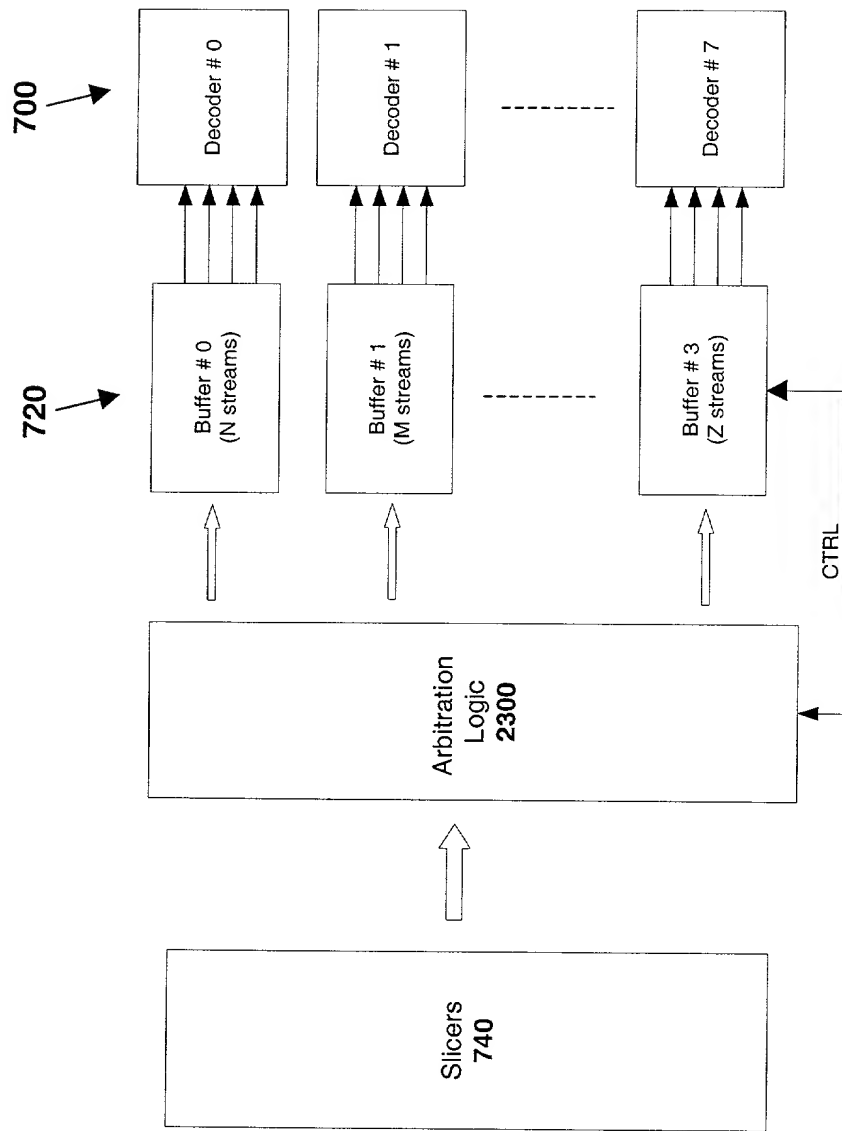


Fig. 23

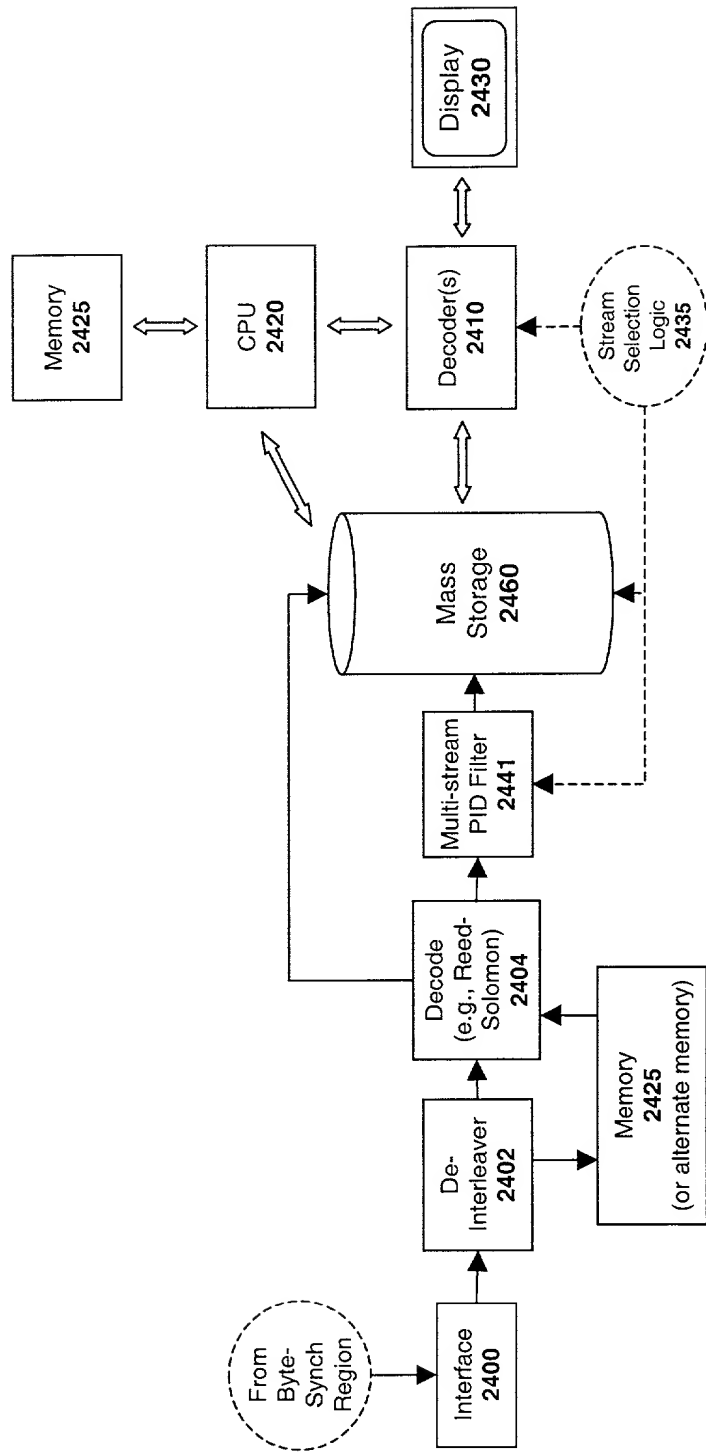


Fig. 24